

第三章 波浪

第一節 波 浪 一 般

波の理論 水面は風の衝撃と吸揚とに依つて波 (Wave) を起す。

一般的の波浪である深海に起る波の形狀は、トロコイド曲線(Trochoidal curve)である、即ち水の各分子は何れも圓周運動をなしつゝあつて、之が綜合し遂に表面に波形を表すのである。(圖参照)

されば波の形は傳播進行するが、其内部の水は前進せずして、一所に停滞廻轉しつゝあるを以て原則とする。

深海に於ける、波長と速度と時間との關係は、次の諸式に依つて表はさる、但し此等の式が、築港に於てそのまま應用せらるべきことは稀れである。

$$T = \frac{2\pi}{a} V = 0.64V \quad \dots \dots \dots \quad (2)$$

記號 L 波長、単位は米

T 一つの波の進む時間、即ち波の周期、単位は秒

V 波の速度、単位は米秒

g 重力の加速度 (9.81米秒秒)

π 圓周率 (3.14)

此場合に於て、水分子が廻轉する圓周軌道の半徑、即ち分子軌道(Orbit)の半徑は水面に於て最も大きく、深くなるに従て小さくなる、其關係を式に示せば

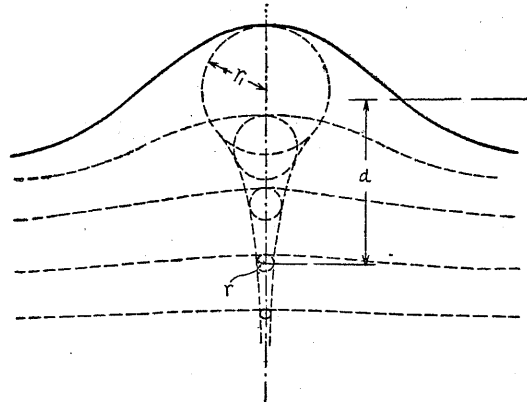
$$r = r_0 e^{-\frac{2\pi d}{L}} \quad \dots \dots \dots \quad (4)$$

記号 r 任意の水深に於ける、分子軌道の半径

r_1 : 水面に於ける分子軌道の半径 (波高の
半分に當る)

a 任意の水深（離水面より起算す）

e 自然對數底數 (2.718)



水分子迴轉圖

更に又水分子の回転速度の、波長並に分子軌道の半径等の関係は、次式の如くなる。

$$v = r \sqrt{\frac{2\pi g}{L}} = 7.85 r \sqrt{\frac{1}{L}} \quad \dots \dots \dots (5)$$

$$v_1 = r_1 \sqrt{\frac{2\pi g}{L}} = h \sqrt{\frac{\pi g}{2L}} = 3.92 h \sqrt{\frac{1}{L}} \quad \dots (6)$$

記號 v 任意の水深に於ける、水分子回轉の速度

v₁ 水面に於ける水分子回轉の速度

波高

以上の諸式は深海部に於ける、一般的の波浪に關するものであつたが、淺海部に於ては、之と多少その趣を異にする、茲に謂ふ深海部とは、水深が波長の約半分以上の所を指すのである。

〔例題 1〕 週期 9 秒なる時の、波長と波の速度を算出せよ。

$$L = 1.56T^2 = 1.56 \times 9^2 = 127 \text{m} \dots \text{波長}$$

$$T = 0.64V \text{ 故に}$$

$$V = T \div 0.64 = 9 \div 0.64 = 14. \text{ m/sec} \dots \text{速度}$$

或は V は $(L+T)$ に依つても算出し得る。

〔例題 2〕 波高 8 米、波長 160 米、なる時、海面より 20 米の所に於ける、水分子回転の軌道半径と速度を算出せよ。(但し築港に於て、實際如斯き計算を行ふことは少いから、唯だ参考に記すに過ぎない。)

(4)式を用ひて、所要の半径 r を求め、又其 r を (5) 式に代入して、所要の速度 v を求むる。

$$r = r_1 e^{-\frac{2\pi d}{L}} = \frac{8}{2} e^{-\frac{2 \times 3.14 \times 20}{160}} = 4 e^{-0.785} = 4 \times 0.456 = 1.82 \text{ m}$$

$$v = 7.85 r \sqrt{\frac{1}{L}} = 7.85 \times 1.82 \sqrt{\frac{1}{160}} = 1.11 \text{ m/sec}$$

但し上記計算の中 $e^{-0.785}$ はハイパボリック函数表、例へば林桂一博士著のもの等を見れば、直に之を知る事が出来る、又 e は 2.718 であるから、之より直接算出してもよい。

浅海部の波浪 浅海部は水深が波長の半分以下の所であつて、其所に起る波の水分子軌道は、多少水底の摩擦の影響を受けて橢圓形となる、從て前掲の諸式は次の如くなる。但し此等の式も亦築港に應用せらるべきことは、稀であるが唯だ参考に迄で掲げるに過ぎない。

$$L = \frac{g}{2\pi} \frac{b_1}{a_1} T^2 = 1.56 \frac{b_1}{a_1} T^2 = 0.78 \frac{h}{a_1} T^2 \dots \dots \dots (7)$$

$$T = \frac{2\pi}{g} \frac{a_1}{b_1} V = 0.64 \frac{a_1}{b_1} V = 1.28 \frac{a_1}{h} V \dots \dots \dots (8)$$

$$V = \sqrt{\frac{g}{2\pi} \frac{b_1}{a_1} L} = 1.25 \sqrt{\frac{b_1}{a_1} L} = 0.88 \sqrt{\frac{h}{a_1} L} \dots \dots \dots (9)$$

$$v = \sqrt{\frac{2\pi gab}{L}} = 7.85 \sqrt{\frac{ab}{L}} \dots \dots \dots (10)$$

$$v_1 = \sqrt{\frac{\pi g a_1 h}{L}} = 5.55 \sqrt{\frac{a_1 h}{L}} \dots \dots \dots (11)$$

記号 a 任意の水深に於ける、分子軌道の橢圓大徑

b 同上の橢圓小徑

a_1 水面に於ける、分子軌道の橢圓大徑

b_1 同上の橢圓小徑(波高の半分に當る)

尚ほ $a_1 b_1 a b$ 等の關係

は次の諸式に依て明かである

る、其中で波高と水深(D)

等の關係式は、エーリー氏

(Airy) の説に従つた。

$$a_1 = \frac{e^m + 1}{e^m - 1} b_1$$

$$b_1 = \frac{h}{2}$$

$$a = b_1 \frac{e^n + e^{-n}}{e^n - e^{-n}}$$

$$b = b_1 \frac{e^n - e^{-n}}{e^n + e^{-n}}$$

$$m = 4\pi \frac{D}{L}$$

$$n = 2\pi \frac{D-d}{L}$$

$$q = 2\pi \frac{D}{L}$$

淺海部に於ける水分子の回転

但し D は静水面より水底までの水深。

上式の中に a_1 の式は a の式の n に $d=0$ とすれば同じ結果となる。

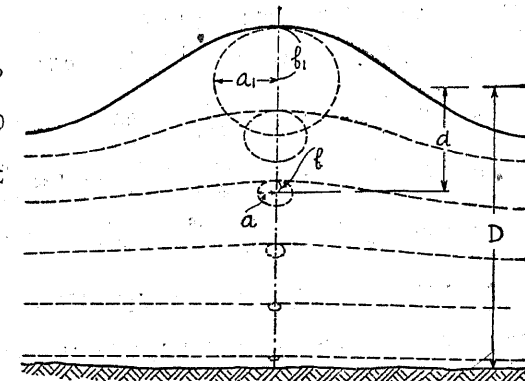
以上述べ來つたものは、普通の波形に就てであつた、然るに陸岸に接近し、或は障害物に衝突する時は、次に記すが如き種々なる異形の波を生ずる、而して普通の波形を持続し得る範囲は、水深が波高より大なる場合に限らる、之を式に表せば次の如くであつて、此式は築港に於て屢々應用せらるべき。

$$h \leq D \dots \dots \dots (12)$$

〔例題 3〕 水深 25 米の浅海部に於て、波高 8 米、波長 160 米なる場合の波速を求めよ。

(但し如斯き複雑なる計算は實際には用ゐない)

(9)式に依つて、速度 V を求むる前に、先づ a_1 を算出する爲めに m を求むる。



$$m = 4\pi \frac{D}{L} = 4 \times 3.14 \times \frac{25}{160} = 1.96$$

$$a_1 = \frac{e^m + 1}{e^m - 1} b_1 = \frac{e^m + 1}{e^m - 1} \times \frac{h}{2} = \frac{e^{1.96} + 1}{e^{1.96} - 1} \times \frac{8}{2} = \frac{7.10 + 1}{7.10 - 1} \times 4 = 5.31$$

$$V = 0.88 \sqrt{\frac{h}{a_1}} L = 0.88 \sqrt{\frac{8}{5.31}} \times 160 = 13.6 \text{ m/sec}$$

〔例題 4〕 上記の波浪に於て、静水面下 10 米の所に於ける、水分子軌道の梢圓大徑と小徑とを求める。(實際には用ゐることが多い)

$$n = 2\pi \frac{D-d}{L} = 2 \times 3.14 \times \frac{25-10}{160} = 0.59$$

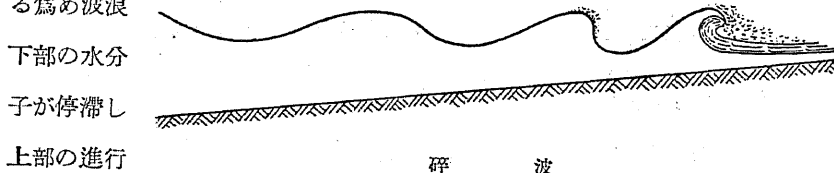
$$q = 2\pi \frac{D}{L} = 2 \times 3.14 \times \frac{25}{160} = 0.98$$

$$a = b_1 \frac{e^n + e^{-n}}{e^q - e^{-q}} = \frac{8}{2} \times \frac{e^{0.59} + e^{-0.59}}{e^{0.98} - e^{-0.98}} = 4 \times \frac{1.80 + 0.55}{2.66 - 0.37} = 4.1 \text{ m} \dots \text{大徑}$$

$$b = b_1 \times \frac{e^n - e^{-n}}{e^q - e^{-q}} = \frac{8}{2} \times \frac{e^{0.59} - e^{-0.59}}{e^{0.98} - e^{-0.98}} = 4 \times \frac{1.80 - 0.55}{2.66 - 0.37} = 2.2 \text{ m} \dots \text{小徑}$$

特種の波 上述の普通波浪の外に、種々なる形狀の波がある。

碎波 (Broken wave) 水深が急に淺くなる時には、海底の摩擦抵抗が急に増大する爲め波浪



の如く早くなく、遂に波の頂が前に墜落するに至る、此現象を碎波と言ふ。一般に海濱に打ち返す波、或は防波堤附近に押し寄する波は、此碎波が多い。

普通の波が碎波の形狀を呈する時は、著しく其高さを増す、即ち碎波の高(H)と普通波の高(h)との比は 1.5 倍乃至 2 倍ほどである。

$$\text{即ち } \frac{H}{h} = 1.5 \sim 2.0$$

〔註〕 昭和四年九月廿日伏木港に於て、沖合の普通波と防波堤近くの碎波との波高を調査した所に依れば、普通波 3.9 米に對し、碎波は 7 米であつて、從て H と h との比は 1.8 に相當する。

進行波 (Translatory wave) 既述の普通波と異なつて、水分子が漸次移動し、多少の流速を有する波であつて、此進行性を帶ぶるに至つた原因是、水底の摩擦、

障害物、風に依つて下部の水より、上部の水が次第に前進するが爲である。

〔註〕 進行波に對して普通の波浪を振動波 (Oscillatory wave) と言ふこともある。

水底の摩擦に依つて起る進行波を 遷波と名付け、風力の存續に依つて起るものを、煽波 (Forced wave) と呼ぶ。

波を打つ風力が益々加れば、波頭を吹き碎いて海上に白波の躍るを見る。

餘波 (Swell) 直接風に吹かれて起る波でなく、他所に起つた波動を傳へ来る波を餘波又はウネリと稱する。

例へば、風無きに襲ひ来る巨浪、或は風向と反対の方向より寄せ来る波、等は何れも此餘波に屬する。

餘波の特長は普通の風浪に比して、其波長が著しく大なることである。

〔註〕 太平洋沿岸の本邦港灣に於ては、低氣壓の通過前日頃より、既に餘波の襲來あるを例とする。

又一般に暴風の通過後にも多少の餘波が殘る。

侵入波 (Send) 即ち

フレコミ、と稱する

は、外波が港口或は灣

口より内部に深く侵入

し来るものを言ふ。

廻浪 (Wheeling) と

は岬又は防波堤

の突端より廻り

来る波である。

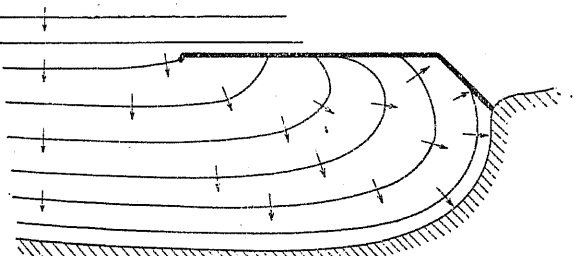
(圖参照)

跳波 (Spray)

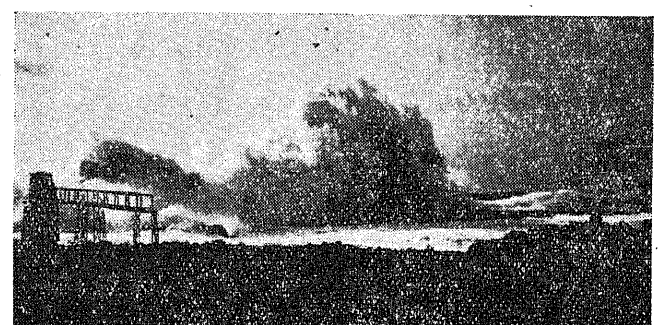
波浪が構造物に

ぶつかつて、水

煙を高く跳ね上



廻浪の一例



留萌港防波堤の大跳波

げるものを、スプレー或ひは跳波と呼ぶ。

反射波 波浪が構造物に當り、其の返し波に依て、異形の波を現はすことがある、之を反射波と言ふ。

構造物が波向に直面するならば、其反射波の斷面は、サイクロイド曲線 (Cycloidal curve) に近くなる。

構造物と波向とが、或る角度を以て衝突する場合には、所謂三角波を生ずる。

(註) 反射波の起つてゐる海面を一般に Chopping sea と言ふ。

第二節 波 高

波高一般 大洋に於ける波高の最大なるものに就ては、航海者の觀測に依つて、18米に達することを知る、然し之は波が重複して特に高くなつた場合であつて、

本邦港灣最高波高表

港 名	觀測の最高記録			
	波 高	波 向	年 月 日	
青森	1.8 米	北	明 41—1—28	
名古屋	1.8	南々東	大 1—9—23	
四日市	2.4	南々東	大 1—9—23	
高雄	6.1	南 西	大 7—6—30	
伊東	3.0	東	大 7—9—24	
留大	7.6	北 西	大 9—12—10	
鉢	3.0	東 北 東	大 10—8—	
八戸 (鮫)	5.5	北 東	大 11—2—19	
敦賀	6.1	北々東	大 15—12—21	
網走	2.0	北	昭 2—12—24	
今治	7.5	北 東	昭 3—1—4	
境	2.1	北 東	昭 3—8—17	
室津	1.4	西南西	昭 3—8—30	
酒田	7.3	南々西	昭 3—11—29	
江角	6.0	北 西	昭 4—1—2	
小松	8.8	西南西	昭 4—2—12	
島	2.5	東 北 東	昭 4—8—15	

單形の普通波にて 15 米以上に及ぶものは稀である。

次に築港技術に必要なる、海岸近くに押し寄する波の高さは、大洋中の最高波より勿論小さい。

我が國の港灣に於て觀測せる波高の最大は、江角港(島根縣)の 8.8 米である。又留萌、網走、室津にては 7.5 米前後、酒田、八戸(鮫)等にては 6 米の巨浪を見た。

然し四日市、小松島の如き灣内の港にあつては、最高約 2.5 米、更に内海に入つては 2 米以下に過ぎない、尙ほ詳細は別表を見られたい。

但し比較的短期間の觀測による此等の最高波が、必ずしも其港に起り得る絶対の最高波でない事は言ふ迄でもない。

從て防波堤等の設計に用ゐる最高波は、安全の爲め上記の觀測波高より、更に一層大なるものと假定する。

今本邦港灣に於ける 設計用の最高波 に就て、之が大略の標準は次の如きものと思ふ。

I 外海に面する港 …… 6 米乃至 10 米

II 外海に近き灣内の港 …… 4 米乃至 6 米

III 内海及び灣内の港 …… 2 米乃至 4 米

勿論この標準は大略の見當を示したに過ぎなくて、實際に或る地點に於ける、設計用の最高波を推定するには、後に述ぶる對岸距離、海底の水深其他の環境條件を考慮して定むるのである。而して海岸に押し寄する波高の大小に影響ある諸種の 原因を列記すれば次の如くである。

1. 對岸距離の大小
2. 波の狹窄と散布
3. 波の轉向と散布
4. 海底の深淺

そして波高減少の割合は、狭窄部の幅員 (b)、狭窄部よりの距離 (a)、内部の擴大せる幅員 (B) 等に依つて異なる、此關係をステベンソン氏は次の實驗式に依て表はした。(圖参照)

$$\frac{K'}{h} = \sqrt{\frac{b}{B}} - 0.027 \left(1 + \sqrt{\frac{b}{B}}\right) \text{ if } b > 0 \dots \quad (15)$$

記號 h 港外の波高

h' 港口より δ だけ離れた所の波高

6 港口の幅員

B 港口より \sqrt{d} だけ離れた所に於ける、港内の拡大幅員

♂ 港口よりの任意の距離

此公式は多少不充分の點もあるが、然し他に是以上の式がないから、港内波高の計算には屢々應用せらるゝ。

〔例題10〕 和蘭のエミイデン港(Ymuiden)に於て、港外の波高4米の時、港口より1200メートル内に入る所に生ずる港内波浪の高(ハ)を計算せよ。

但し此港の港口幅員は 250 米、又 1200 米内の港内擴大の幅員は 1180 米である。

[15]式に依つて計算すれば、次に示すが如く、所要波高は0.9米となる。

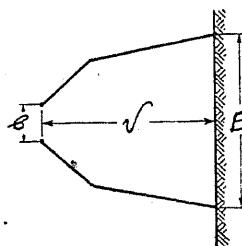
$$\frac{h'}{h} = \sqrt{\frac{b}{B}} - 0.027 \left(1 + \sqrt{\frac{b}{B}} \right) \sqrt{\sigma'}$$

$$h' = h \sqrt{\frac{b}{B}} - 0.027 h \left(1 + \sqrt{\frac{b}{B}} \right) \sqrt{\sigma'}$$

$$= 4 \times \sqrt{\frac{250}{1180}} - 0.027 \times 4 \left(1 + \sqrt{\frac{250}{1180}} \right) \sqrt{1200} = 0.9 m$$

波の轉向と散布 岬或は防波堤等の尖端よりの廻浪は、本來の波が進行する方向から、別に轉向し來るものであるが爲め、波勢は漸次散布せられて、其波高を低減する。

そして、其轉向(Wheeling)の角度が大なる所ほど減少率が多く、從て靜穩で



あるは言ふ迄でもない、其關係に就て廣井博士の貴重なる實驗の結果は次の如くであつた。

$$\tau = h \left(1 - \frac{\theta}{240}\right) \dots \dots \dots \quad (16)$$

記号 τ は迴浪の高、 h は本來の波高、 θ は轉迴の角度

海底の深浅 評て述べた如く、普通の波形を持续し得る範囲は、海底の水深が波高より大となる場合に限らる、従て(12)式に示すが如く波高は、海の水深より大きくなり得ない。

例題8と9とに記した如く例へ フエッチが如何に長大であつても、水深以上の波高を生ぜざるものとして、其水深の數値を以て、此地點の最大波高と推定する場合が屢々ある。

〔註〕 銚子港に於て觀測に依る、最大波高は前に記すが如く 5.5 米であつたが、防波設計用の最大波高は、海底水深である 10.6 米と假定せられた、即ち此場合は $h = D$ である。

海中の障害物 防波堤或は露礁の如く、波浪を殆ど遮断するものゝ効果は言ふ迄
でもない、其他水面以下に没してゐる暗礁、砂洲の如き障害物の効果も亦著しき
ものがある、即ち後者に於て越波は多少あつても、波浪の下部のカイネチツクエ
ナルジーが消滅する爲め、大に波高を減少せしむる。

例へば久慈港(茨城県)の泊地の比較的安全なるは、沖にあたつて一字形に横はる、長大なる暗礁の爲めである。

〔註〕 露礁、暗礁等の海中の岩礁(Reef)は俗に礁(いそ)或は、瀬(はえ)と稱する。

風の強弱 が波高の大小に影響するは勿論である、そして海洋上に於て此關係の概略を表はした公式に次の如きものがある。

但し、 h は波高を米にて表はし、 S は風速を、米/秒にて表はす。

風と波との関係式は、總ての場合に適用できない、即ち既述のフェッチ、水深其他の影響に負ふものが多いから、單に風速のみにて波高を決定することは、困

難である。

次に風の吹く持続時間が長ければ、波高が次第に高くなるは言ふ迄でもない。

(註) (17)式の外にも種々なる公式がある。即ち

$$\text{廣井式} \quad h = S^2 \div 100$$

$$\text{White式} \quad h = \frac{3}{4} S^{\frac{2}{3}}$$

(註) 風速と波速 風速と波高との関係を記したついでに、波速との関係式等を附記する。

$$\text{ホワイト式} \quad V = 6.9 S^{\frac{1}{4}}$$

$$\text{其 他} \quad V = 11.6 \cdot S$$

記号 V は波の速度、 S は風速、その単位は何れも 米/秒 である。

以上の記事に依つて、波高の大小に影響を及ぼす諸原因を大凡知つた、更に波高と波長、波高と静水面等の関係を述べ、尙ほ波高観測の方法、及び實際の波高等を以下順次に記す。

波高と波長 普通港灣附近に起る波浪に於て、波長(L)と波高(h)との比例は 20 倍前後のものが多い。即ち

$$\frac{L}{h} = 20$$

但し之は極めて大略の値であつて、實際は、15 倍以下に下り、或は反対に 30 倍以上に及ぶものがあつて、必ずしも一様でない。

(註) 此波高と波長との比率の長短は、次に列記せる諸種の事情に依つて、異差を生ずるものである。

(イ) 暴風時には此比例一般に小さく、弱風になるに従つて大きくなる。

(ロ) 海岸近くに於て、水底が急に浅くなる所にて、此比率は小さくなる。

(ハ) 波長大なる波に於て、此比率は大である。

(二) 餘波に於ては、此比率が著しく大である。

(註) 餘波の性質を帶びた波浪の波長は、時に 300 米乃至 600 米に及ぶが、直接風に依つて起る波の波長が 180 米以上になることは稀である。

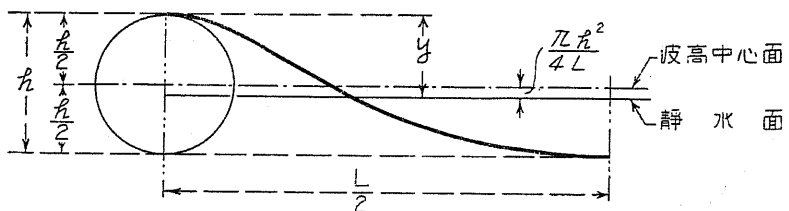
(註) 本邦にて波長観測の實例は、留萌港に於て大正九年十二月四日の暴風時に起つた大波である、其波長は 106 米、波高は 7.6 米、即ち波長は波高の 14 倍であつた。

波長観測の方法は、後述の波高観測に於けるが如き、竹竿を波向の直線上に幾本も立

て、之を目標として其波長を測定するのである。

又船舶の長さと比較して測定することもある。

波高と静水面 こゝに静水面とは波が鎮まつたと、假定せる時に占むる水面である、換言すれば其平面より上の山の水積と、其平面より下の谷の空積と等しき場合である。



静水面の位置

静水面は圖に示すが如く、波高の中心面より

$$\frac{\pi h^2}{4L} \text{ 即ち } 0.785 \frac{h^2}{L}$$

だけ低い、今山の頂より静水面までを y とし、之と波高 h との関係を式に表はせば、次の如くであるは言ふ迄でもない。

$$h = 2 \left(y - \frac{\pi h^2}{4L} \right) \quad \dots \dots \dots \quad (18)$$

然し實際に於ては、近似數を取つて次式の如き簡略のものを用ゐる、此式は後に述ぶる、波高観測の時に屢々應用せらるゝ。

$$h = 1.8y \quad \dots \dots \dots \quad (19)$$

(註) 滄海部に於て分子の運動軌道が橢圓なりと假定すれば、静水面と中心面との差は $\frac{\pi a_1 b_1}{L}$

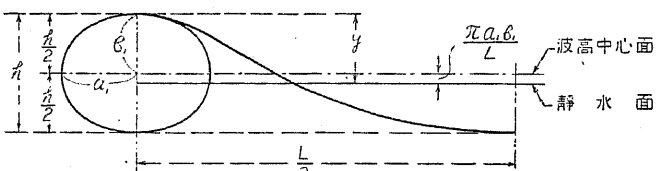
であつて (18) 式は次の如くなる。但し $a_1 b_1$ は嘗て滄海部の波浪の所にて説明した。

$$h = 2 \left(y - \frac{\pi a_1 b_1}{L} \right)$$

波高の観測 海中又は岩礁、防波堤等の上に目標を立て、之を目標にして波頂の高さを、肉眼或は望遠鏡等を以て測定するのが普通である。

如斯くして得
たる讀數より波
高(h)を算出
るには(19)式を

應用するがよい。



淺海部に於ける靜水面の位置

記號 i 基準面上より波頂までの高さの讀數

t 觀測當時の潮位讀數、即ち基準面上より離水面に至る高さ

〔註〕海中に立つる目標には竹を用ゐる、此竹竿は屢々波浪に依て捨ち切らるゝを以て幾本も立てる要がある、又留萌港にては其根元の近くに、シャツケルを附して竹竿を廻轉自在ならしめ以て捨切を多少防き得た。

次に沖合にある岩礁、或は防波堤の上に立つる目標は、最も強固にしなければならぬ普通太いレールの如きものを混凝土にて植込む、但し之も亦屢々破壊せらるゝことがある。

此等の目標には約半米置きに目印を塗り置く。

〔註〕又一法としては、沖合に浮標(Buoy)を浮せ之が浮沈を測つて、波高を定むることもできる。

〔註〕江角港(島根)にては、目標を用ひずして、陸岸の傾斜面を利用し、其所に、レベルを据へて観測した。即ちレベルの水平視線と波頂とが一致するまで、何回も据へ直して測定する。此観測法は地勢の如何に依て有效である。

〔例題11〕 波頂が蘆水面上3米に達する波浪の波高を求む。

(19)式に依つて 5.4 米となる。即ち

$$h = 1.8\mu \equiv 1.8 \times 3 \equiv 5.4 \text{ m}$$

〔例題12〕目標に依つて測り、其波頂が基準面上 6 米に達した波浪に就て、其波高を求む。但し其淵測せる時刻の測位は其海面上 2 米であつた。

(20)式に依つて所要の波高は 7.2 メートルとなる。即ち

$$k \equiv 1.8(i-t) \equiv 1.8(6-2) = 7.2 \text{ mm}$$

波高結論 以上述べ來つた所に依て、波高の大小に影響を及ぼす、諸種の事項に關し其詳細を盡した。

其中で普通の港灣に於ける、最大波高の推定に最も重要な事項は、海底の水深、フェッチの二つである。尙ほ観測波高も亦参考資料として必要であるが、短期間の記録を以て、直に設計用の最大波高となすの不可なるは、既述の如くであつて、之に相當の餘裕を附して、充分安全なる波高を假定すべきである。

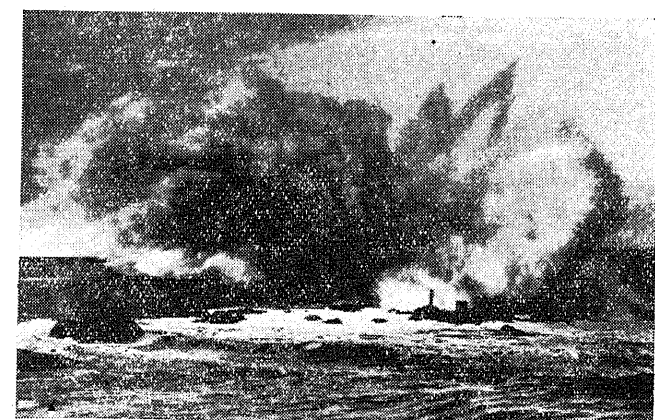
第三節 波 力

波力一般 波の力は極て強大であつて、港灣の工作物に對して屢々其暴威を逞しきる。例へばアルダーニー港 (Alderney) に於ては嘗て 9 両の石塊を 13 米の高きに吹き上げた、又ウイック港 (Wick) にては 2600 両の大塊を倒した。

又本邦に於ても、此波力發現の顯著なる、實例がある、即ち留萌港と網走港とにては 2000 吨の大函塊を破壊せしめ、又昭和三年室津港の防波堤が大破した跡の調査によれば、目方 350 吨の大破片が約 20 米の遠方に飛散してゐた。

〔註〕強大なる波浪発現の實例は上記の外にも澤山ある、その中で有名なものを記せばゼノア港(Genoa)にて40艘の大塊を50米の遠方に飛ばし、又エムイデン港(Ymuiden)にては20艘の混泥土塊を約3.5米の高さに持ち上げた、次にエジストン燈臺(Edgestone)にては潮流面上20米の高所にある60艘の構造物を拋げしも。

本邦に於て波
に依る防波堤破
壊は前記のもの
の外に、綱代、
浦河、杏形、高
雄、新潟、瀧、
多度津、朝、横
濱等其他之が實
例は甚だ多い、
尙ほ又護岸、海
壁の破壊に至つ
ては更に多數で
ある。



室津港の防波堤を破壊せし大波

式(24)(25)、(26)等に依て、所要の波力は 60 磅となる。即ち

$$p_v = 1.5wD = 1.5 \times 1.03 \times 7 = 10.8 \text{ t/m}^2$$

$$p = p_v \sin^2 \alpha = 10.8 \times \sin^2 45 = 10.8 \times 0.743^2 = 6.0 \text{ t/m}^2$$

$$P = pA = 6.0 \times (1 \times 10) = 60 \text{ t}$$

(註) 既述の如く、本邦港湾に於ける普通の防波堤設計には、上記廣井式が最も適合するを以て、更に他の式を知る必要は少い。

然し特別に水深大きく、然も直立部の高き構造のものにあつては、碎波の形態を取らずして、波浪の有する位勢、動勢、のエネルギーが、そのまま堤體に働く、其際の波力計算の方法を参考にまで附記する。(水利と土木第三卷一號拙文参照)

甲圖 は港内側に著しき波浪なき普通の場合である。其中で

位勢は大略 ロハホヘ を以て表はす。但し

$$\text{ロロ} = \text{イハ} = \text{ハホ} = \frac{h}{2} + \frac{\pi a b_1}{L} = \frac{h}{2} + \frac{3a_1}{2L}$$

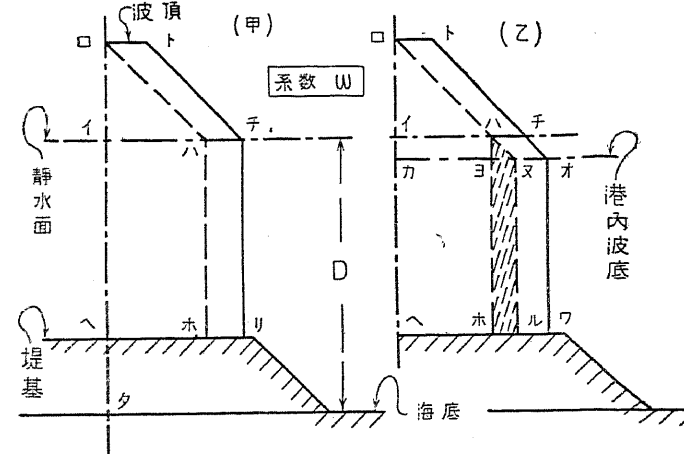
動勢は大略 ロトチリホハ を以て表はす。但し

$$\text{ロト} = \text{ハチ} = \text{ホリ} = k_2 \frac{v_1^2}{2g} = \frac{v_1^2}{5}$$

式中の記号は、總て當て淺海波浪(7)式以下に用ゐたものと同様である、其時に無かつた k_2 は定數であつて、略最大にあたる 4 を取つた。

位、動のエネルギーは静水面を下るに従て減少し、海底にては略零となるのであるから、ハタ、チタ、と連結すべきであるが、安全の爲め、ハ、及び、チ、より各垂線を下ろした。

此圖に於て要するに堤側にあたる壓力は、ロトチリヘ、の多角形の面積に、系数 w (1.03 磅) を乗じたものである。



乙圖 は港内に相當著しき波浪の起る場合である。其際最も危険の場合は、堤の外側へ、外波の波頂があたると同時に、その内側には港内波の波底が接する場合である。

即ち静水面と港内波底との差(イカ)だけの水壓が、餘分に加へることとなる、之を圖に示せば、ハヌルホヨ、の如くなる。

イカは港内波高的半分より小であるが、安全のため其二分の一とする。

但し港内波浪が、港外波より小なるは勿論であるから、カオ、を外波の波底迄で下げる必要はない。

以上の解法の根據は、主としてエーリー氏の所説に發したのであるから、同じ論據によるリラ氏 (Jorge Lira) の解法 (Genie Civil 1927 年 2 月號 141 頁) と近似であるが唯だ、ホリを零とする事、或は港内浪等に關し所説を多少異にする。

波力の測定 には波力計 (Wave-dynamometer) を岩礁又は防波堤に、取付けて之を測る。

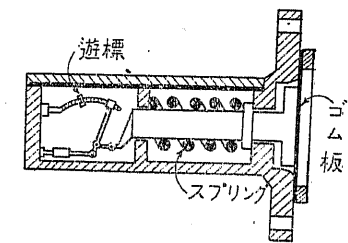
波力計に於て波が直接當る所は、ゴム板或は鐵板にて造られ、之に受けた壓力をバネ、即ちスプリング (Spring) 或は液體等に依つて傳へる。

バネ仕掛け……廣井式、Stevenson 式

廣井式波力計

液體装置……Gaillard 式

遊標



本邦にては専ら廣井式が用ゐらるゝ。(圖参照)

前で記した如く、此等の波力計の示す最大波力は、小局部に受くるものであつて、防波堤の如き廣い場面に受くる最大波力より、遙に強大なる數字が現はれる。

從て實際に防波堤等の設計には、此測定の最大波力を用ひずして、寧ろ波力公式に依て算出した最大強力をとる。

(註) 廣井式にてはゴム製の圓盤の内方に接してバネを附し、其壓縮の程度に依つて波力を知るのである、又廣井式には單記と自記とある、前者は最大波力のみを一つ示すものである、後者は時計仕掛けあつて、波力が時に依つて變化した跡を記すのである、普通は簡便なる單記が多く採用せる。

波力計は干潮面以上の各所に於て、小穴を掘つてなるべく多數之を取付けるがよい。

波力結論 波力は防波堤或は海壁等の設計資料として、極めて重要な事項である、而て此波力を推定するには、主として波力公式に依て之れを算出する、今之が計算順序の要領を記せば次の如くなる。

1. フエッチ 水深 其他より設計用の最大波高を推定する。
2. 此波高を(23)式に代入して、波向に向つて真ともに押す波力を算出する。
3. 防波堤と波向とのなす角度を豫想し、之と前記の波力とを(25)式に入れて堤體が直角に押さるゝ力を算出する。
4. 堤側面の高と前記の力とを(26)式に代入して、堤側面に當る波力を算出し此外力に耐ゆる様に防波堤等を設計するのである。